



مقایسه پیش‌بینی مدل‌های ریاضی و شبکه‌های عصبی در خشک‌کردن انار

علی متولی^۱- سعید مینایی^۲- محمد‌هادی خوش‌تفاضا^۳- محمد کاظمی^۱- علی محمد نیکبخت^۳

دانشجوی کارشناسی ارشد و -۲- دانشیار دانشگاه تربیت مدرس -۳- استادیار دانشگاه ارومیه

ali.motevali62@yahoo.com

چکیده

به منظور ارزیابی و انتخاب مدل مناسب برای روند خشک شدن دانه‌های انار به روش لایه نازک، ده مدل نیمه تئوری و تجربی با داده‌های آزمایشگاهی برازش شد. آزمایش‌ها در سه تیمار شاهد، پیش‌تیمار مایکروویو با توان ۱۰۰ و ۲۰۰ وات و در شش سطح دمایی ۴۵، ۵۰، ۵۵، ۶۰، ۶۵ و ۷۰ درجه سلسیوس و سه سرعت هوای ۱، ۰/۵ و ۱/۵ متر بر ثانیه انجام شد. شبکه‌های عصبی پیشرو برای تخمین میزان رطوبت دانه انار بکار گرفته شد. نتایج حاصل از تحلیل رگرسیونی مدل‌های ریاضی نشان داد که مدل میدیایی بهترین برازش را با داده‌های بدست آمده دارد. مقایسه ضریب تعیین R^2 و MSE نشان داد که شبکه‌های عصبی پیش‌بینی بهتری نسبت به مدل‌های ریاضی دارد.

واژه‌های کلیدی: مدل ریاضی، شبکه‌های عصبی، خشک‌کردن لایه نازک، دانه انار

مقدمه

نگهداری مواد غذایی به روش خشک‌کردن یکی از قدیمی‌ترین روش‌های نگهداری می‌باشد. اگر چه خشک‌کردن به وسیله خورشید برای سالیان دراز روش رایج برای خشک‌کردن اکثر مواد غذایی بوده، اما به علت ملاحظات بهداشتی و اقتصادی با روش‌های مختلف از جمله خشک‌کردن با جریان هوای گرم جایگزین گردیده است (Das et al., 2004).

در خشک‌کن لایه نازک شدت خشک‌شدن به عوامل زیادی از قبیل دمای هوا، سرعت(دبی) جریان هوا، رطوبت نسبی هوا، مدت زمان در معرض قرار گرفتن محصول در مقابل جریان هوا، فشار هوا، خصوصیات فیزیکی و ساختمانی محصول (رقم، اندازه، میزان رطوبت اولیه، سطح آزاد محصول) و نحوه قرارگیری محصول روی سینی (عمق دانه) بستگی دارد (عسگری اصلی ارده، ۱۳۸۴).

فرایند خشک کردن با مایکروویو روشی نسبتاً ارزان بوده که امروزه توجه بسیاری از محققین را به خود جلب نموده است. طیف الکترومغناطیسی بین بسامدهای 300MHz و 300GHz نشان‌گر امواج مایکروویو است. برخلاف سیستم‌های گرمایشی رایج، امواج مایکروویو در غذا نفوذ کرده و گرمایش در سراسر ماده غذایی گسترش می‌یابد (شیفمن، ۱۹۹۲). مطالعات زیادی در مورد خشک‌کردن محصولات کشاورزی با استفاده از مایکروویو مانند خشک‌کردن دانه‌ها توسط ادو و اوتن (۱۹۹۶)، والد و همکاران (۲۰۰۲)، خشک‌کردن سبزی‌جات، لیتوین و همکاران (۱۹۹۸)، لین و همکاران (۱۹۹۸)، آلیباس (۲۰۰۶) و خشک‌کردن میوه‌جات، تولا سیداس و همکاران (۱۹۹۷)، فانیبو و اوهلسون

(۱۹۹۸) انجام شده است. هر چند مطالعات زیادی در مورد خشک کردن محصولات مختلف با استفاده از جریان هوای داغ و مایکروویو وجود دارد اما مطالعات در مورد استفاده از مایکروویو برای عملیات پیش تیمار در خشک کردن محصولات کشاورزی کم است.

یکی از جنبه های مهم فن آوری خشک کردن به خصوص برای فرآیندهای صنعتی، مدل سازی ریاضی فرآیند خشک کردن است. هدف از مدل سازی این است که مناسب ترین روش خشک کردن و همچنین بهترین شرایط عملیاتی را برای بدست آوردن یک محصول معین بتوان انتخاب کرد. (یداللهی نیا، ۱۳۸۵)

تاکنون مطالعات زیادی در مورد سینیتیک خشک کردن محصولات مختلف کشاورزی انجام شده است از جمله سیمال و همکاران (۲۰۰۵) خشک کردن کیوی، بوزکر (۲۰۰۶) خشک کردن زرد آلو، دمیر و همکاران (۲۰۰۷) خشک کردن زیتون، دویماز و پالا (۲۰۰۳) خشک کردن ذرت، شارما و همکاران (۲۰۰۵) خشک کردن ورقه های نازک پیاز را مورد آزمایش قرار دادند.

یکی از مهمترین روش های هوش مصنوعی، شبکه های عصبی مصنوعی می باشد که با الهام از مدل مغز انسان، ضمن اجرای فرآیند آموزش، اطلاعات مربوط به داده ها، در قالب وزن های شبکه ذخیره می کند، در واقع شبکه های عصبی روشنی مبتنی بر پردازش اطلاعات و داده هاست. (البرزی؛ ۱۳۸۳).

استفاده از شبکه های عصبی مصنوعی در سطح وسیعی برای شبیه سازی و پیش بینی پارامترهای مورد نیاز در فرآیندهای خشک کردن در حال رشد و توسعه است. مدل های شبکه عصبی مصنوعی در مورد فرایندهایی که تعریف دقیق و درک خاصی از آنها وجود ندارد، بسیار مؤثر عمل می کنند و قادر هستند که هر تابع ریاضی را با دقت قابل قبولی تخمین بزنند. کاهش تأثیر خطای داده ها و داده های از دست رفته و توانایی پیش بینی دو یا چند متغیر وابسته به طور همزمان از جمله مزیت های شبکه های عصبی است. همچنین نیاز به محاسبات طولانی برای حل معادلات دیفرانسیل با استفاده از روش های عددی نیست، در حالی که در یک شبکه عصبی مصنوعی، نتایج به صورت ضرب ساده ماتریس ورودی در ماتریس وزن به دست می آید (Islam et al., 2003).

در زمینه فرآوری محصولات کشاورزی برای پیش بینی پارامترها به کمک شبکه های عصبی، تحقیقات زیادی بخصوص در مورد سینیتیک خشک شدن محصولات کشاورزی انجام شده است. پیش بینی انتقال گرما و جرم در خشک کردن مگنو و کاساوا پر ز و همکاران (۲۰۰۴)، مقایسه تخمین رفتار خشک شدن *Echinacea angustifolia* شبکه های عصبی با آنالیز رگرسیونی ارنتورک و همکاران (۲۰۰۴)، پیش بینی فرآیند خشک شدن با کمک مایکروویو بر مبنای شبکه عصبی مولینا (۲۰۰۵)، پیش بینی سینیتیک خشک شدن با شبکه عصبی تومکازاک کامینسکی (۲۰۰۱)، استفاده از شبکه های عصبی برای پیش بینی دمای غذا (محصول) در خشک کن های خورشیدی تریپسی و کومار (۲۰۰۹)، پیش بینی خشک شدن گوجه با شبکه عصبی موقرن زاد و نیکزاد (۲۰۰۷) ... بود.

هدف از تحقیق حاضر مقایسه مدل های ریاضی با شبکه های عصبی برای پیش بینی خشک کردن لایه نازک دانه انار می باشد.

مواد و روش‌ها

اماده‌سازی نمونه‌ها

انار تازه ترش از شهرستان جویبار، استان مازندران (شمال ایران) تهیه شد و برای انجام آزمایشات در یخچال در دمای +5 سلسیوس نگهداری شد. میزان رطوبت اولیه دانه‌های انار، به روش خشک کردن در آون بدست آمد (Doymaz, 2005) این روند 5 بار تکرار شد. نتایج نشان داد که میزان رطوبت اولیه دانه‌های انار در حدود ۳۲۳٪ درصد بر پایه خشک می‌باشد. آزمایش‌ها در شش سطح دمایی ۴۵، ۵۰، ۵۵، ۶۰، ۶۵، ۷۰ درجه سلسیوس، سه سطح سرعت هوای ورودی ۱، ۰/۵ و ۱/۵ متر بر ثانیه و سه نوع پیش‌تیمار (شاهد، پیش‌تیمار مایکروویو با توان ۱۰۰ وات به مدت ۲۰ دقیقه، پیش‌تیمار مایکروویو با توان ۲۰۰ وات به مدت ۱۰ دقیقه) انجام شد. در طول انجام آزمایش‌ها دمای محیط بین ۲۰ تا ۲۶ درجه سلسیوس و رطوبت نسبی هوا بین ۲۲ تا ۲۷ درصد بود.

۱- مدل‌سازی ریاضی منحنی‌های خشک شدن

برای مدل‌سازی خشک شدن لایه نازک دانه‌های انار از نسبت رطوبت نمونه‌ها در طی خشک شدن استفاده شد. نسبت رطوبت با توجه به رابطه (۱) به رطوبت اولیه، رطوبت تعادلی و رطوبت نمونه‌ها در هر لحظه وابسته است (Doymaz., 2007).

$$MR = \frac{M_t - M_e}{M_0 - M_e} \quad (1)$$

که در آن MR رطوبت نسبی (بی‌بعد)، M_t میزان رطوبت در هر لحظه (کیلوگرم آب/کیلوگرم ماده جامد)، M_0 رطوبت تعادلی (کیلوگرم آب/کیلوگرم ماده جامد)، M_e رطوبت اولیه (کیلوگرم آب/کیلوگرم ماده جامد) است. طرف چپ معادله، نسبت رطوبت را که مشخص کننده فرآیند خشک کردن است نشان می‌دهد. برای زمان‌های طولانی خشک شدن، مقادیر M_e در مقایسه با مقادیر M_0 بسیار کوچک هستند. بنابراین می‌توان معادله نسبت رطوبت در طی خشک شدن را به صورت معادله (۲) ساده کرد (Doymaz., 2007).

$$MR = \frac{M_t}{M_0} \quad (2)$$

در نتیجه در رابطه ساده شده برای محاسبه نسبت رطوبت نیازی به اندازه‌گیری رطوبت تعادلی نیست. برخی از مدل‌های استاندارد خشک شدن لایه نازک محصولات کشاورزی در جدول (۱) آمده است. نسبت رطوبت‌های بدست آمده طی آزمایشات مختلف با مدل‌های ارائه شده با استفاده از نرم‌افزار MATLAB 2007 برآش داده و برای تعیین بهترین مدل از سه معیار ضریب تعیین (R^2) و ریشه میانگین مربعات خطای (RMSE) استفاده شد.

جدول ۱. معادلات خشک کردن لایه نازک ارائه شده توسط پژوهشگران برای محصولات کشاورزی

شماره	نام مدل	معادله مدل	منبع
۱	میدیلی و همکاران	$MR = a \exp(-kt^n) + bt$	Menges and Ertekin. (2005).
۲	ورما و همکاران	$MR = a \exp(-kt) + (1-a) \exp(-gt)$	Verma et al (1985)
۳	هندرسون و پاییس	$MR = a \exp(-kt)$	Chhinnan (1984)
۴	لگاریتمی	$MR = a \exp(-kt) + c$	Dandamrongrak et al (2002)
۵	پیچ اصلاح شده	$MR = \exp(-(kt)^n)$	Wang et al (2007)
۶	دو جمله‌ای	$MR = a \exp(-k_0 t) + b \exp(-k_1 t)$	Diamente and Munro (1991)
۷	تقریب پخش	$MR = a \exp(-kt) + (1-a) \exp(-kbt)$	Ertekin and Yaldiz (2004)
۸	پیچ	$MR = \exp(-kt^n)$	Simal et al (2005)
۹	هندرسون و پاییس اصلاح شده	$MR = a \exp(-kt) + b \exp(-gt) + c \exp(-ht)$	Sharma et al (2005)
۱۰	نیوتون	$MR = \exp(-kt)$	Ayensu (1997)

بهترین برآذشی که می‌تواند خصوصیات خشک شدن دانه‌های انار را توصیف کند مدلی است که دارای بیشترین ضریب همبستگی (R^2)، کمترین (SSE) و کمترین ریشه متوسط مربع خطای داده‌ها (RMSE) باشد.

$$R^2 = 1 - \left[\frac{\sum_{i=1}^N (MR_{pre,i} - MR_{exp,i})^2}{\sum_{i=1}^N (\overline{MR}_{pre} - MR_{exp,i})^2} \right] \quad (3)$$

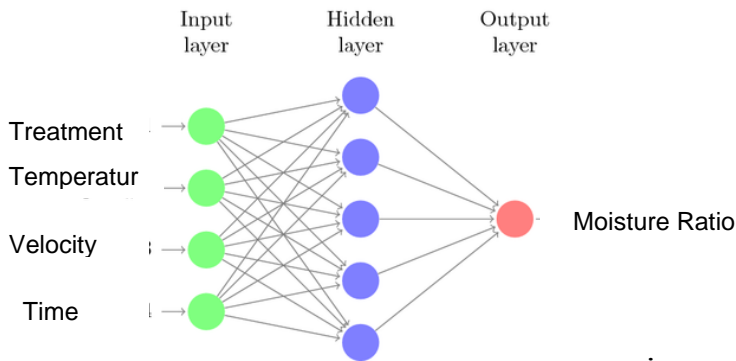
$$RMSE = \left[\frac{1}{N} \sum_{i=1}^N (MR_{pre,i} - MR_{exp,i})^2 \right]^{\frac{1}{2}} \quad (4)$$

در این رابطه‌ها، $MR_{exp,i}$ نسبت رطوبت تجربی iام، $MR_{pre,i}$ نسبت رطوبت پیشگوئی شده آن، N تعداد مشاهدات و m تعداد ثابت‌های خشک شدن می‌باشد.

۲- مدلسازی شبکه عصبی

هر شبکه عصبی از سه لایه ورودی، میانی یا مخفی و خروجی تشکیل شده است. در لایه اول یا ورودی، به تعداد عوامل اولیه و در لایه خروجی به تعداد عوامل نهایی موردنظر، نرون بستگی دارد. لایه مخفی می‌تواند از یک یا چندین لایه تشکیل شود که تعداد نرون‌های هر لایه آن متغیر است و عموماً به روش سعی و خطا تعیین می‌شود. چهار عامل دما، سرعت هوای

تیمار و زمان خشک شدن بصورت چهار نرون در لایه ورودی و مقدار محتوای رطوبتی به عنوان تنها نرون در لایه خروجی مدلسازی شد(شکل ۱).



شکل ۱- معماری شبکه عصبی مصنوعی

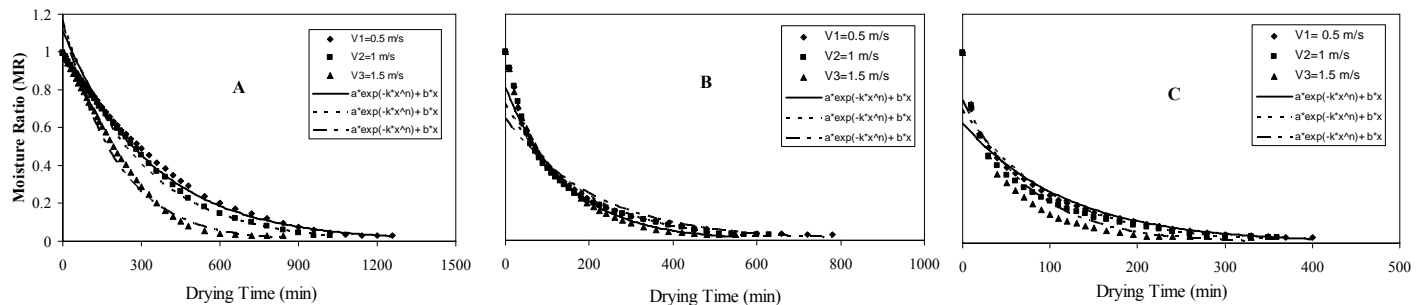
در این پژوهش از شبکه‌های MULTI LAYER PERCEPTRON (MLP) که در آن تمامی نرون‌ها به یکدیگر وصل باشند استفاده شد. این مدل، به علت سادگی و در عین حال دقت بالا، کاربرد زیادی در شبیه‌سازی خشک شدن دارد. از توابع آستانه مختلفی چون سیگموئیدی، لگاریتمی و خطی و الگوریتم‌های آموزش همراه با ناظارت، شبکه‌های پس‌انتشار روبه جلو (FFBP) مانند الگوریتم لونبرگ–مارکوارت (Levenberg–Marquardt technique) استفاده شد.

تعداد کل الگوهای ورودی شبکه ۱۴۵۳ است، که ابتداً نرم‌السازی شده و سپس بصورت تصادفی به سه گروه آموزش (۶۰٪)، ارزیابی (۲۵٪) و تست (۱۵٪) تقسیم بندی شدند. همچنین نرخ آموزش برای تمامی حالات ۰/۲ و میزان مومنتم ۱/۰ در نظر گرفته شد. کد مورد نیاز برای مدلسازی شبکه عصبی با استفاده از نرم‌افزار MATLAB 2008 توسعه داده شد، بهترین توپولوژی شبکه عصبی بر اساس دو معیار ضریب تعیین R^2 و MSE مشخص گردید. بهترین برازشی که می‌تواند خصوصیات خشک شدن دانه‌های انار را توصیف کند آن توپولوژی است که دارای بیشترین ضریب تعیین (R^2) و کمترین MSE باشد.

نتایج و بحث

مدلسازی خشک کردن و نتایج حاصل از برازش مدل‌ها
 رطوبت اولیه دانه‌های انار ترش که به روش وزنی بدست آمد برابر ۷۳/۱ (wb) بود. پس از بدست آوردن مقادیر نسبت رطوبت در دما و سرعت‌های مختلف خشک کردن، مدل‌های معرفی شده در جدول (۱) بر منحنی‌های خشک کردن حاصل از داده‌های آزمایشی برازش داده شدند. سپس مدل‌های مختلف خشک شدن لایه نازک با توجه به مقادیر R^2 و RMSE ارزیابی شدند و مدل بهتر بر اساس مقادیر بیشتر R^2 و مقادیر کمتر χ^2 و RMSE انتخاب شد. نتایج حاصل از برازش داده‌های آزمایشگاهی با مدل‌های ارائه شده نشان داد که تقریباً همه مدل‌ها مناسب‌بند، اما مدل میدیلی، مدل پیچ،

مدل ورما و همکاران و مدل تقریب پخش، با دقت بیشتری نسبت به سایر مدل‌ها، فرآیند خشک شدن دانه‌های انار ترش را پیش‌بینی کردند. ضرایب و شاخص‌های آماری مربوط به مدل میدیلی در سطوح مختلف دما و سرعت باد و در جدول (۲) آمده است. به علت زیاد بودن سطوح آزمایش و شکل‌های حاصله، در اینجا به عنوان نمونه تنها برآزش مدل میدیلی در دمای ۴۵ درجه سلسیوس در شکل (۱) در سه تیمار شاهد، پیش‌تیمار مایکروویو با توان ۱۰۰ و پیش‌تیمار مایکروویو با توان ۲۰۰ وات نشان داده شده است.



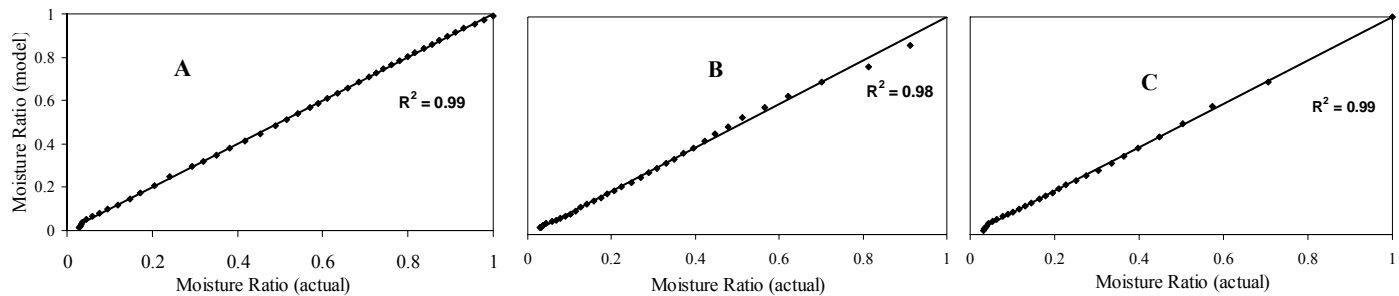
شکل ۲- منحنی‌های خشک شدن لایه نازک دانه انار در دمای ۴۵ درجه سلسیوس در (A) تیمار شاهد (B) تیمار مایکروویو با توان ۱۰۰ وات (C) تیمار مایکروویو با توان ۲۰۰ وات به همراه خطوط پیشگوئی شده توسط مدل میدیلی در سرعت‌های مختلف هوا

جدول ۲- ضرایب و شاخص‌های آماری مدل میدیلی در سطوح مختلف دما و سرعت هوا

T(°C)\V(m/s)	45		50		55		60		65		70	
تیمار شاهد												
0.5	0.999	0.000874	0.999	0.0038	0.999	0.00164	0.997	0.0035	0.999	0.00093	0.999	0.00044
1	0.999	0.00258	0.998	0.0149	0.994	0.00093	0.999	0.0007	0.999	0.00020	0.999	0.00070
1.5	0.999	0.00353	0.997	0.0073	0.998	0.00351	0.999	0.0005	0.999	0.00011	0.999	0.00031
پیش‌تیمار مایکروویو با توان ۱۰۰ وات												
0.5	0.996	0.006801	0.998	0.004	0.998	0.00326	0.999	0.0021	0.998	0.00292	0.998	0.00230
1	0.997	0.009282	0.998	0.002	0.999	0.00125	0.999	0.0005	0.999	0.00081	0.998	0.00122
1.5	0.999	0.0017	0.999	0.009	0.994	0.01227	0.996	0.0052	0.999	0.00126	0.999	0.00058
پیش‌تیمار مایکروویو با توان ۲۰۰ وات												
0.5	0.999	0.000972	0.995	0.005	0.996	0.00498	0.999	0.001	0.998	0.00245	0.998	0.00032
1	0.998	0.002341	0.996	0.004	0.999	0.00110	0.999	0.0008	0.999	0.00128	0.998	0.00153
1.5	0.999	0.001032	0.997	0.004	0.998	0.00232	0.999	0.001	0.999	0.00077	0.991	0.00108

شکل ۳ مقایسه بین نسبت‌های رطوبتی به دست آمده از آزمایش را در مقابل نسبت‌های رطوبتی پیش‌بینی شده با مدل میدیلی در دما و سرعت‌های آزمایش شده به ترتیب برای تیمار شاهد (A)، پیش‌تیمار مایکروویو با توان ۱۰۰ W (B) و W

(C) را نشان می‌دهد. همانطور که نشان داده شده است خطی با زاویه ۴۵ درجه به داده‌ها برازش شده است که نشان دهنده دقیقیت مدل میدلی می‌باشد.



شکل ۲. مقایسه بین نسبت رطوبتی حاصل از آزمایش با نسبت رطوبتی پیش‌بینی شده توسط مدل میدلی (A) تیمار شاهد (B) پیش-تیمار مایکروویو با توان ۱۰۰ W (C) پیش‌تیمار مایکروویو با ۲۰۰ W

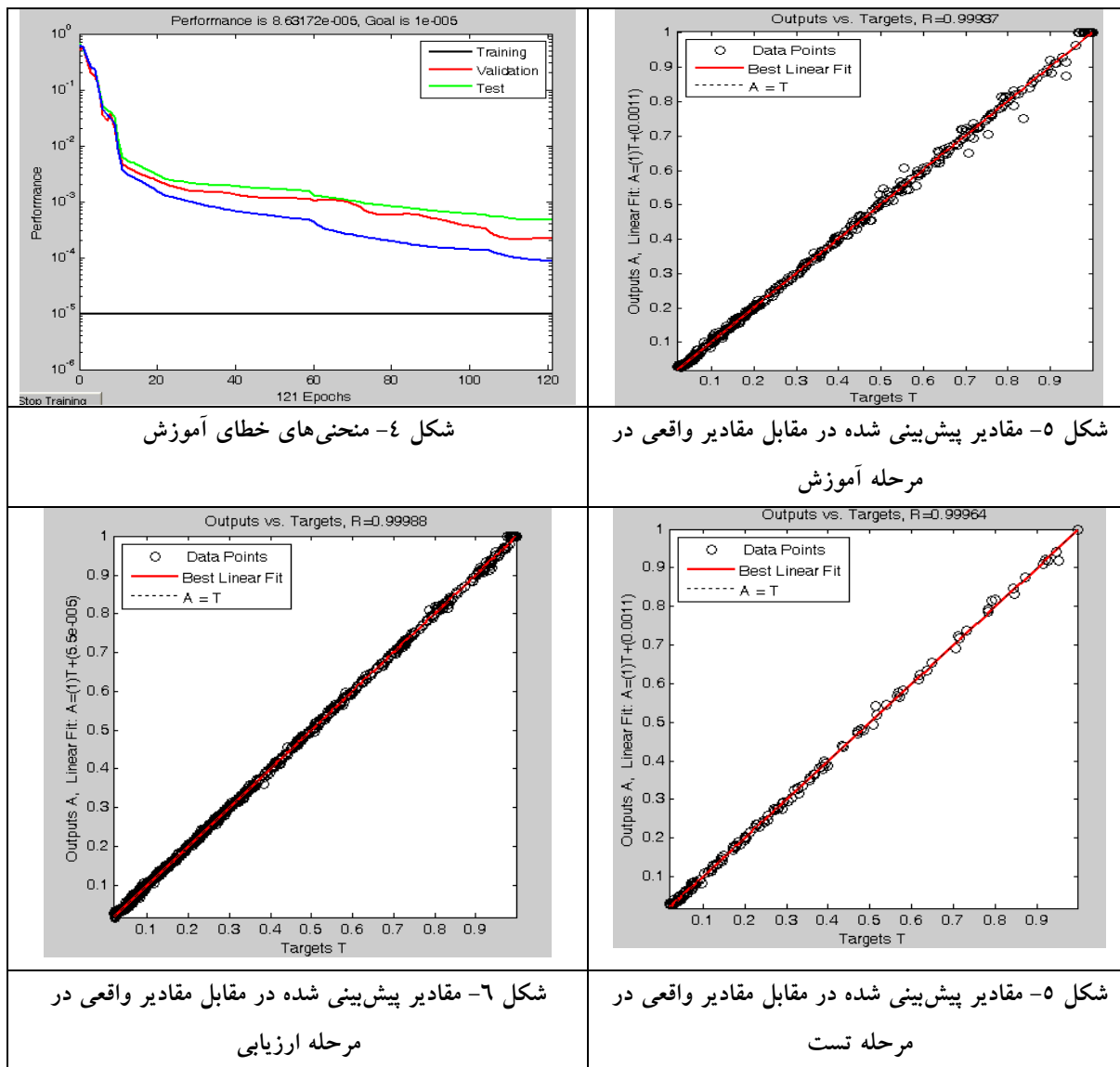
نتایج حاصل از مدل‌سازی خشک‌کردن به کمک شبکه‌های عصبی برای بررسی عملکرد شبکه MLP چند لایه از توپولوژی‌های مختلف با تعداد نرون‌های مختلف مورد استفاده قرار گرفت. در مرحله اول بعد از آموزش شبکه بهترین توپولوژی بر اساس R_{MSE} از میان توپولوژی‌های مختلف تعیین شد (جدول ۳).

جدول ۳- نتایج حاصل از ارزیابی‌های مختلف شبکه عصبی

Activation function	Neurons in hidden layer1	Neurons in hidden layer2	Training error	$R_{(training)}$	$R_{(validation)}$	$R_{(test)}$	Epoch
Log/Tan	15	0	0.00096252	0.9973	0.9958	0.9976	100
Log/Tan	20	0	0.00066865	0.9984	0.9977	0.9976	119
Log/Tan	25	0	0.00200737	0.9993	0.9993	0.9984	386
Log/Tan	30	0	0.00195448	0.9989	0.9967	0.9984	154
Log/Tan	15	20	0.00012409	0.9998	0.9978	0.9980	87
Log/Tan	20	25	0.00050378	0.9992	0.9984	0.9990	85
Log/Tan	25	15	0.00015112	0.9996	0.9998	0.9996	120
Log/Tan	30	20	0.0006565	0.9947	0.9816	0.9945	51
Log/Tan	25	25	0.0103882	0.9993	0.9985	0.9983	56

نتایج حاصل از به کارگیری شبکه عصبی با توپولوژی‌های مختلف نشان داد که بهترین توپولوژی دارای ساختاری با معناری ۱۵-۱۵-۴-۴ نرون در لایه ورودی، تعداد نرون در دو لایه پنهان به ترتیب ۲۵ و ۱۵ و تعداد نرون در لایه خروجی (۱)، از شبکه MLP با الگوریتم یادگیری LM وتابع استانه Tansig با چرخه آموزش ۱۲۰ بود. این توپولوژی تغییرات محتوا رطوبتی را با ضریب تعیین ۹۹۹۸٪ و خطای آموزش ۱۵٪ پیش‌بینی کرد. نتایج بدست آمده نشان از قابلیت شبکه عصبی به عنوان ابزاری برای پیش‌بینی تغییرات محتوا رطوبتی با زمان است که می‌تواند در سیستم‌های کنترل خشک کن به کار رود..

در ادامه برای تحقیق دقیق‌تر بروی مدل‌ها از ایالیز رگرسیونی بین داده‌های آزمایشگاهی و نتایج خروجی شبکه عصبی استفاده شد که در شکل‌های (۵ تا ۸) نشان داده شده است. بهترین همبستگی بین داده‌های پیش‌بینی شده توسط شبکه عصبی و داده‌های آزمایشگاهی برای مراحل آموزش، ارزیابی و تست به ترتیب ۰/۹۹۹۳۷، ۰/۹۹۹۸۸ و ۰/۹۹۹۶۴ بدست آمد.



با مقایسه شکل ۲ (نمودارهای نسبت رطوبت حاصل از پیش‌بینی مدل میدلی در تیمارهای مختلف) و شکل ۷ (نمودار نسبت رطوبت حاصل از پیش‌بینی شبکه عصبی) می‌توان نتیجه گرفت که شبکه‌های عصبی نسبت رطوبت حاصل از خشک‌شدن دانه‌های انار را با دقت و خطای کمتری نسبت به مدل‌های ریاضی پیش‌بینی می‌کند. نتایج این تحقیق با نتایج سایر پژوهشگران موقرنسزاد و نیکزاد (۲۰۰۷) و ارنتورک و همکاران (۲۰۰۴) شباهت داشت.

نتیجه‌گیری

نتایج نشان داد که انجام عملیات پیش‌تیمار با استفاده از مایکروویو با توان‌های ۱۰۰ و ۲۰۰ وات، زمان خشکشدن دانه‌های انار را نسبت به تیمار شاهد به طور معنی‌داری کاهش می‌دهد. نتایج حاصل از برآذش داده‌های آزمایشگاهی با مدل‌های ارائه شده نشان داد که تقریباً همه مدل‌ها مناسب‌بند، اما مدل میدیلی با $R^2 = 0.9998$ و $SSE = 0.00681$ دقت بیشتری نسبت به سایر مدل‌ها در فرآیند خشک شدن دانه‌های انار داشت. افون بر این آهنگ ثابت خشکشدن (k) در مدل میدیلی با انجام عملیات پیش‌تیمار افزایش یافت به طوری که بیشترین مقدار آن در پیش‌تیمار مایکروویو با توان ۲۰۰ وات برابر با $0.9128 \text{ g} / \text{min}$ بر دقيقه بدست آمد. بهترین تopolوژی از شبکه MLP با الگوریتم یادگیری LM و تابع استانه Tansig با ضریب تعیین 0.9998 و خطای آموزش 0.00015 بدست آمد. نتایج نشان داد که شبکه‌های عصبی پیش‌رو تخمین بهتری نسبت به اکثر مدل‌های ریاضی دارد.

منابع و مأخذ

- البرزی، م. ۱۳۸۳. آشنایی با شبکه عصبی مصنوعی، چاپ دوم. انتشارات علمی دانشگاه صنعتی شریف.
 عسگری اصلی اردبیل، ع (۱۳۸۴). تکنولوژی بعد از برداشت غلات، جبوبات، میوه‌جات، سبزیجات. (تالیف چاکراورتی، آ. آ. سینگ)، ترجمه، موسسه فرهنگی انتشاراتی یاوران. اردبیل. ۴۸۴ ص.
- یداللهی نیا، ع. ۱۳۸۵. استخراج مدل خشکشدن شلتوك در خشککن لایه نازک. پایان‌نامه کارشناسی ارشد. مکانیک ماشین‌های کشاورزی. دانشکده مهندسی بیوپریسیستم دانشگاه تهران.

- Adu B; Otten L (1996). Diffusion characteristics of white beans during microwave drying. *Journal of Agricultural Engineering Research*, 64(1), 61–69.
- Alibas, I., (2006). Characteristics of chard leaves during microwave, convective, and combined microwave-convective drying. *Drying Technology*, 24, 1425–1435.
- Ayensu, A. (1997). Dehydration of food crops using a solar dryer with convective heat flow. *Solar Energy*, 59(4–6), 121–126.
- Bozkır, O., (2006). Thin-layer drying and mathematical modeling for washed dry apricots. *Journal of Food Engineering*, 77: 146–151.
- Chhinnan, M. S. (1984). Evaluation of selected mathematical models for describing thin-layer drying of in-shell pecans. *Transactions of the ASAE*, 27, 610–615.
- Dandamrongrak, R., Young, G., and Mason, R. (2002). Evaluation of various pre-treatments for the dehydration of banana and selection of suitable drying models. *Journal of Food Engineering*, 95, 139–146.
- Das, I., Das, S. K. and Bal, S., (2004). Specific energy and quality aspects of infrared (IR) dried parboiled rice. *Journal of Food Engineering*, 68: 249–255.
- Demir, V., T. Gunhan, and A.K. Yagcioglu. (2007). Mathematical modelling of convection drying of green table olives. *Biosystems engineering*, 98: 47 – 53.
- Diamente, L. M., and Munro, P. A., (1991). Mathematical modeling of hot air drying of sweet potato slices. *International Journal of Food Science and Technology*, 26, 99.
- Doymaz, I and M. Pala. (2003). The thin-layer drying characteristics of corn. *Journal of Food Engineering*, 60 : 125–130.
- Doymaz, I. (2005). Influence of pretreatment solution on the drying of Sour-Cherry. *Journal of Food Engineering* 78, 591–596.
- Doymaz, I. (2007). Air drying characteristics of tomatoes. *Journal of Food Engineering*. 78, 1291-1297.

- Erenturk^a, K., Erenturk^b, S. and Tabil^c, L.G. (2004) A comparative study for the estimation of dynamical drying behavior of *Echinacea angustifolia* : regression analysis and neural network. Computers and Electronics in Agriculture 45; 71–90.
- Ertekin, C., and Yaldiz, O. (2004). Drying of eggplant and selection of a suitable thin layer drying model. Journal of Food Engineering, 63, 349–359.
- Funebo T; Ohlsson T., (1998). Microwave-assisted air dehydration of apple and mushroom. Journal of Food Engineering, 38, 353–367.
- Hernandez-Perez, J.A., Garca-Alvarado, M.A., Trystram, G. and Heyd . B. (2004). Neural networks for the heat and mass transfer prediction during drying of cassava and mango. Innovative Food Science and Emerging Technologies 5; 57–64.
- Islam, M. R., Sablain, S. S. and Mujumdar A. S. 2003. An artificial network model for prediction of drying rate. Drying Technology, 20: 325- 334.
- Lin T M; Durance T D; Seaman C H., (1998). Characterization of vacuum microwave air and freeze dried carrot slices. Food Research International, 4, 111–117.
- Litvin S; Mannheim C H; Miltz J (1998). Dehydration of carrots by a combination of freeze drying, microwave heating and air or vacuum drying. Journal of Food Engineering, 36, 103–111.
- Menges, H. O and C. Ertekin. (2005). Mathematical modeling of thin layer drying of golden apples. Journal of Food Engineering. 177: 119-125.
- Movagharnejad, K. and Nikzad, M. (2007). Modeling of tomato drying using artificial neural network. Computers and Electronics in Agriculture 59; 78–85.
- Pedren, J.L., o-Molinaa,T., Monzo'-Cabreraa, J., Toledo-Moreob, A. and Sa'nchez- rna'ndez, D.(2005). A novel predictive architecture for microwave-assisted drying processes based on Neural Networks. International Communications in Heat and Mass Transfer 32; 1026–1033.
- Schiffman, R.F., 1992, Microwave processing in the U.S. food industry. Food Technology, 50–52: 56.
- Sharma G. P., R. C. Verma and P. Pankaj .(2005) .Mathematical modeling of infrared radiation thin layer drying of onion slices. Journal of Food Engineering .Vol 171. 282-286.
- Sharma G. P., R. C. Verma and P. Pankaj .(2005) .Mathematical modeling of infrared radiation thin layer drying of onion slices. Journal of Food Engineering .Vol 171. 282-286.
- Simal, S., Femenia, A., Garau, M.C., Rossello, C., (2005). Use of Exponential, Page's and Diffusional models to simulate the drying Kinetics of Kiwi Fruit. Journal of Food Engineering. 66: 323–328.
- Simal, S., Femenia, A., Garau, M.C., Rossello, C., (2005). Use of Exponential, Page's and Diffusional models to simulate the drying Kinetics of Kiwi Fruit. Journal of Food Engineering. 66: 323–328.
- Tomczak, E. and Kaminski. W. (2001) Drying kinetics simulation by means of artificial neural networks. *Handbook of Conveying and Handling of Particulate Solids*. Elsevier Science B.V.
- Tripathy, P.P. and Kumar, S. (2009) Neural Network approach for food temperature prediction during solar drying. International Journal of Thermal Sciences 48; 1452–1459.
- Tulasidas T N; Ratti C; Raghavan G S V (1997). Modelling of microwave drying of grapes. Canadian Agricultural Engineering, 39(1), 57–67.
- Verma, L. R., Bucklin, R. A., Endan, J. B., and Wratten, F. T. (1985). Effects of drying air parameters on rice drying models. Transactions of the ASAE, 28, 296–301.
- Walde S G; Balaswamy K; Velu V; Rao D G (2002). Microwave drying and grinding haracteristics of wheat (*Triticum aestivum*). Journal of Food Engineering, 55, 271–276.
- Wang, Z., J. Sun, X. Liao, F. Chen, G. Zhao, J. Wu, and X. Hu. (2007). Mathematical modeling on hot air drying of thin layer apple pomace. Food Research International, 40:39–46.

Abstract

Ten semi theoretical and empirical models were fitted to the experimental data to evaluate and select the best model for thin-layer drying of pomegranate arils. Experiments were conducted at six temperature levels of 45, 50, 55, 60, 65 and 70 °C and three levels of air velocity (0.5, 1 and 1.5 m/s). Microwave pretreatments were used for samples and the results were compared to those of control (no pretreatments). Regression analysis of mathematical models showed that the Midili model fitted best to the measured data. However, regarding R^2 and MSE criteria, neural network modeling yielded a better prediction of pomegranate arils moisture ratio during drying of arils compared to all the mathematical models studied.

Keywords: Mathematical models, neural networks, thin layer drying, pomegranate arils